

Нарушение \mathcal{PT} -симметрии в резонансно-туннельных гетероструктурах

А. А. Горбачевич^{+*1)}, Н. М. Шубин*

⁺Физический институт им. Лебедева РАН, 119991 Москва, Россия

*Национальный исследовательский университет “МИЭТ”, 124498 Зеленоград, Москва, Россия

Поступила в редакцию 12 апреля 2016 г.

После переработки 6 мая 2016 г.

Представлена фермионная модель, основанная на симметричной резонансно-туннельной гетероструктуре, которая демонстрирует спонтанное нарушение симметрии по отношению к одновременному действию операций пространственной инверсии (\mathcal{P}) и обращения времени (\mathcal{T}). Нарушение \mathcal{PT} -симметрии проявляется в слиянии (коллапсе) резонансов. Показано, что резонансные значения энергии в точности совпадают с собственными значениями вспомогательного псевдо-эрмитового \mathcal{PT} -инвариантного гамильтониана.

DOI: 10.7868/S0370274X16120079

Спонтанное нарушение симметрии (СНС) служит центральной идеей во многих областях современной физики, особенно в физике элементарных частиц [1] и физике конденсированного состояния [2–6]. СНС означает, что симметрия системы меняется (понижается) при определенном значении некоторого параметра системы, который сам непосредственно не меняет симметрию. Недавно был обнаружен целый новый класс явлений, связанных с СНС в \mathcal{PT} -симметричных системах [7–9]. Такие системы инварианты по отношению к одновременной пространственной инверсии (\mathcal{P}) и обращению времени (\mathcal{T}) и описываются \mathcal{PT} -симметричными псевдо-эрмитовыми гамильтонианами – неэрмитовыми гамильтонианами, которые могут обладать действительными собственными значениями [7, 10]. При определенной величине параметра такого гамильтониана пара действительных собственных значений может слиться и образовать пару комплексно-сопряженных собственных значений – нарушение \mathcal{PT} -симметрии (\mathcal{PT} -НС) [7–9]. Такие точки в пространстве параметров называются особыми точками (ОТ) [11–13]. Собственное состояние гамильтониана в особой точке не вырождено (в отличие от точек кроссинга). Собственные значения гамильтониана с положительной мнимой частью соответствуют неунитарной эволюции волновой функции, которая запрещена условием сохранения нормы (в фермионной системе), поэтому не было ясно, возможно ли существование фермионных систем, имеющих отноше-

ние к псевдо-эрмитовым \mathcal{PT} -симметричным гамильтонианам. К настоящему моменту все реалистичные применения явления \mathcal{PT} -НС с возможностью экспериментальной проверки основаны на формальной эквивалентности уравнения Шредингера и волнового уравнения и описывают электромагнитные явления [14–19]. Величины, нарушающие симметричность относительно обращения во времени (\mathcal{T}) в волновом уравнении, соответствуют хорошо определенным параметрам, описывающим процессы усиления и поглощения. В работе [20] была рассмотрена \mathcal{PT} -симметричная модель сверхпроводника, в которой нарушение \mathcal{T} -симметрии происходило из-за процессов рождения и уничтожения бозонных куперовских пар.

В данной статье рассматривается фермионная модель с \mathcal{PT} -НС, основанная на симметричной резонансно-туннельной структуре (РТС). РТС служит типичным примером открытой квантовой системы. Феномен СНС в открытых квантовых системах активно исследовался, например, в модели Калдейры–Леггета [21] СНС происходило за счет подавления туннелирования диссипацией. Позднее в работе [22] было показано, что в симметричных РТС и без диссипации может происходить СНС в точке слияния резонансов – это явление называется коллапс резонансов (КР). В настоящей статье мы строим вспомогательный псевдо-эрмитов \mathcal{PT} -симметричный гамильтониан, чьи собственные значения в точности соответствуют резонансным энергиям и его ОТ описывает КР. В физике конденсированного состояния описание и классификация

¹⁾e-mail: aagor137@mail.ru

состояний с нарушенной симметрией основана на теории групп, позволяющей ограничить возможное число различных состояний. В случае КР в РТС зеркальная симметрия – единственная симметрия, которая нарушается, однако, число взаимодействующих резонансов может быть различным.

Итак, рассмотрим туннелирование электронов через произвольную многобарьерную структуру с одним уровнем в каждой квантовой яме, описываемую гамильтонианом [23]:

$$\hat{H} = \sum_{i=1}^N \varepsilon_i a_i^\dagger a_i + \sum_{i=1}^{N-1} \left(\tau_i a_{i+1}^\dagger a_i + h.c. \right) + \hat{H}_{LC} + \hat{H}_{RC}, \quad (1)$$

где $a_i^\dagger(a_i)$ – оператор рождения (уничтожения) электрона в i -й яме с энергией ε_i и τ_i – туннельный матричный элемент между i -й и $(i+1)$ -й ямой. Гамильтонианы $\hat{H}_{LC}/\hat{H}_{RC}$ описывают левый/правый контакты со спектром ε_p и взаимодействие со структурой за счет туннельных матричных элементов $t_{L(R)}$:

$$\begin{aligned} \hat{H}_{LC(RC)} = & \sum_p \varepsilon_p a_{L(R),p}^\dagger a_{L(R),p} + \\ & + \sum_p \left(t_{L(R)} a_{1(N)}^\dagger a_{L(R),p} + h.c. \right), \end{aligned} \quad (2)$$

где оператор $a_{L(R),p}$ соответствует состоянию с импульсом p в левом (правом) контакте. Используя технику Келдыша в приближении сильной связи между ямами [24, 25], запишем выражение для тока через РТС, состоящую из N связанных ям в известном виде [24, 23]:

$$I = \frac{e}{2\pi} \int 4\Gamma_L(\omega)\Gamma_R(\omega)|G_{1N}^r(\omega)|^2(f_L(\omega) - f_R(\omega))d\omega. \quad (3)$$

Здесь $f_{L,R}$ – функция распределения Ферми–Дирака, G_{1N}^r – полная запаздывающая функция Грина системы и $\Gamma_{L,R} = \pi|t_{L,R}|^2\rho_{L,R}$ – быстрота ухода электронов из внешних ям (1-ая или N -ая) в левый или правый контакт с плотностью состояний $\rho_{L,R}$ за счет матричного элемента $t_{L,R}$. В соответствии с (3) можно определить коэффициент прохождения структуры как²⁾:

$$T_{NW} = 4\Gamma_L\Gamma_R|G_{1N}^r|^2. \quad (4)$$

Полный пропагатор G_{1N}^r учитывает взаимодействие с континуумом состояний в контактах при помощи соответствующих собственно-энергетических частей [24]:

$$\Sigma_{L,R} = |t_{L,R}|^2 g_{L,R}^r = \delta_{L,R} - i\Gamma_{L,R}, \quad (5)$$

где $g_{L,R}^r$ есть запаздывающие функции Грина в контактах. Следуя, например, работе [23], можно записать полный пропагатор в виде:

$$G_{1N}^r = \frac{G_{1N}^{0r}}{\Delta}, \quad (6)$$

где G_{1N}^{0r} – запаздывающая функция Грина изолированной РТС и

$$\Delta = (1 - \Sigma_L G_{11}^{0r})(1 - \Sigma_R G_{NN}^{0r}) - \Sigma_L \Sigma_R G_{1N}^{0r} G_{N1}^{0r}.$$

Запаздывающая функция Грина G_{1N}^{0r} системы из N связанных ям, не взаимодействующих с континуумом состояний в контактах, может быть получена из уравнения Дайсона [24]:

$$G_{ij}^{0r} = \delta_{ij} g_{ii}^r + g_{ii}^r (\tau_i G_{i+1,j}^{0r} + \tau_{i-1}^* G_{i-1,j}^{0r}), \quad (7)$$

где $g_{ii}^r(\omega) = (\omega - \varepsilon_i + i0)^{-1}$ – функции Грина изолированных ям с единственным энергетическим уровнем ε_i . Прикладываемое напряжение делает систему пространственно неоднородной, что влияет на энергии квазилокализованных состояний в ямах [24]. Мы считаем вклад от приложенного напряжения уже учтенным в энергиях ε_i .

Используя свойства определителей трехдиагональных матриц, можно показать, что коэффициент прохождения (4) может быть записан в виде дроби с характеристическим многочленом эффективного гамильтониана системы в знаменателе [26]:

$$T_{NW} = \frac{P^2}{\left| \det(\omega - \hat{H}_{\text{eff}}) \right|^2}, \quad (8)$$

где $P^2 = 4\Gamma_L\Gamma_R|\tau_1|^2 \dots |\tau_{N-1}|^2$. Матрица эффективного гамильтониана \hat{H}_{eff} в (8) записывается известным образом:

$$\hat{H}_{\text{eff}} = \hat{H}_0 + \hat{H}_L + \hat{H}_R. \quad (9)$$

Здесь \hat{H}_0 – матрица гамильтониана изолированной N -ямной РТС:

$$\hat{H}_0 = \begin{pmatrix} \varepsilon_1 & \tau_1 & \dots & 0 & 0 \\ \tau_1^* & \varepsilon_2 & \dots & 0 & 0 \\ \vdots & \vdots & \ddots & \vdots & \vdots \\ 0 & 0 & \dots & \varepsilon_{N-1} & \tau_{N-1} \\ 0 & 0 & \dots & \tau_{N-1}^* & \varepsilon_N \end{pmatrix}, \quad (10)$$

а взаимодействие с контактами учитывается в $(\hat{H}_L)_{ij} = \Sigma_L \delta_{i1} \delta_{j1}$ и $(\hat{H}_R)_{ij} = \Sigma_R \delta_{iN} \delta_{jN}$. Действительная составляющая $\delta_{L,R}$ собственно-энергетической части соответствует сдвигу энергии,

²⁾Индекс NW означает, что рассматривается РТС из N ям.

а мнимая составляющая $\Gamma_{L,R}$ описывает уход в континуум (5), что, в некотором роде, близко по смыслу к оптическому потенциалу Фешбаха [27, 28].

Собственные значения \hat{H}_{eff} совпадают с полюсами матрицы рассеяния [29, 30], однако, как следует из [22, 29], не совпадают с положением единичных максимумов прозрачности. После некоторых преобразований в знаменателе выражения (8) можно записать прозрачность произвольной многобарьерной структуры как:

$$T_{NW} = \frac{P^2}{|Q|^2 + P^2}, \quad (11)$$

где

$$Q = \det(\omega - \hat{H}_{\text{aux}}) \quad (12)$$

представляет собой характеристический многочлен неэрмитового вспомогательного гамильтониана, описывающего поток электронов слева направо³⁾:

$$\hat{H}_{\text{aux}} = \hat{H}_0 + \hat{H}_L^* + \hat{H}_R. \quad (13)$$

Здесь \hat{H}_L^* – комплексно сопряженная матрица к \hat{H}_L из (9). Таким образом, видно, что резонансы прозрачности строго определены собственными значениями вспомогательного гамильтониана (13), который, в отличие от \hat{H}_{eff} из (9), имеет разные знаки мнимых слагаемых в первом и последнем элементе на главной диагонали. Выражения (11)–(12) представляют компактное обобщение формулы Брейта–Вигнера на многоуровневый случай.

Далее будем рассматривать только симметричные N -ямные РТС с одинаковыми ямами ($t_L = t_R$, $\varepsilon_i = \varepsilon_0$ и $\tau_{N-i} = \tau_i$ для всех i). Более того, мы полагаем, что сдвиги энергии уровней крайних ям будут нулевыми: $\delta_L = \delta_R = 0$ (физически это означает, что мы рассматриваем структуры с уровнями, расположенными на середине высоты барьеров). Такое приближение делает вспомогательный гамильтониан (13) \mathcal{PT} -симметричным⁴⁾:

$$\hat{H}_{\text{aux}}^{\text{symm}} = \hat{H}_{\mathcal{PT}} = \hat{H}_0 + \hat{H}_\Gamma, \quad (14)$$

где $(\hat{H}_\Gamma)_{ij} = i\Gamma(\delta_{i1}\delta_{j1} - \delta_{iN}\delta_{jN})$ соответствует случаю потока электронов слева направо. Таким образом, единичные максимумы прозрачности симметричных РТС, в соответствии с (11), определяются собственными значениями \mathcal{PT} -симметричного

³⁾Изменение направления потока электронов приведет к переопределению $\hat{H}_{\text{aux}} = \hat{H}_0 + \hat{H}_L + \hat{H}_R^*$. Также нетрудно видеть, что направление потока электронов, как и следовало того ожидать, не влияет на коэффициент прохождения.

⁴⁾Он инвариантен относительно одновременного обращения времени (комплексного сопряжения) и пространственного зеркального отражения ($j \in \{1, \dots, N\} \mapsto N + 1 - j$).

псевдо-эрмитового гамильтониана (14). Например, в двухбарьерной симметричной РТС вспомогательный гамильтониан представляет собой действительный скаляр, описывающий единственный резонансный пик, поэтому $Q_{1W} = \omega - \varepsilon_0$. Выражение (11) для коэффициента прохождения в этом случае превращается в простую формулу Брейта–Вигнера. Для структур с $N = 2, 3, 4, 5$ ямами многочлены Q имеют вид (полагаем $\omega - \varepsilon_0 \mapsto \omega$):

$$\begin{aligned} Q_{2W} &= \omega^2 - |\tau_1|^2 + \Gamma^2, \\ Q_{3W} &= \omega(\omega^2 - 2|\tau_1|^2 + \Gamma^2), \\ Q_{4W} &= \omega^4 - \omega^2(2|\tau_1|^2 + |\tau_2|^2 - \Gamma^2) + \\ &\quad + |\tau_1|^4 - |\tau_2|^2\Gamma^2, \\ Q_{5W} &= \omega(\omega^4 - \omega^2(2|\tau_1|^2 + 2|\tau_2|^2 - \Gamma^2) + \\ &\quad + |\tau_1|^4 + 2|\tau_1|^2|\tau_2|^2 - 2|\tau_2|^2\Gamma^2). \end{aligned} \quad (15)$$

Непосредственно в режиме КР в N -ямной симметричной РТС коэффициент прохождения принимает существенно не Брейта–Вигнеровский вид:

$$T_{NW}(\omega) = \frac{\tilde{\Gamma}^{2N}}{(\omega - \varepsilon_0)^{2N} + \tilde{\Gamma}^{2N}}. \quad (16)$$

где $\tilde{\Gamma} = C_N\Gamma$ и C_N – некоторая ненулевая константа, зависящая от N . Главная особенность выражения (16) состоит в том, что первые $2N - 1$ производные принимают нулевые значения в точке $\omega = \varepsilon_0$ и первая ненулевая будет только производная $2N$ -го порядка.

В общем случае многочлен Q имеет $N - 2M$ действительных и $2M$ комплексных корней, но только действительные корни соответствуют единичным максимумам прозрачности. Изменяя параметры системы $\{\tau_i\}$ и Γ , можно добиться слияния всех действительных корней (и, соответственно, резонансов) и превращения их в комплексные. В случае четного числа ям N все корни Q могут быть сделаны комплексными и, соответственно, единственный оставшийся пик прозрачности будет меньше 1, а также иметь асимметричное распределение электронов. В случае нечетного числа ям N всегда будет иметься хотя бы один действительный корень, соответствующий энергии $\omega = \varepsilon_0$. После КР этот пик останется единичным и сохранит симметрию распределения электронов. В соответствии с известными свойствами матриц [31] собственные значения трехдиагональной матрицы \hat{H}_0 в (14) будут действительны и невырождены. Поэтому в случае слабого взаимодействия с континуумом ($\Gamma \ll \min(|\tau_i|)$) все резонансы будут иметь единую прозрачность, а также будут разделены друг от друга. С увеличением Γ действительные

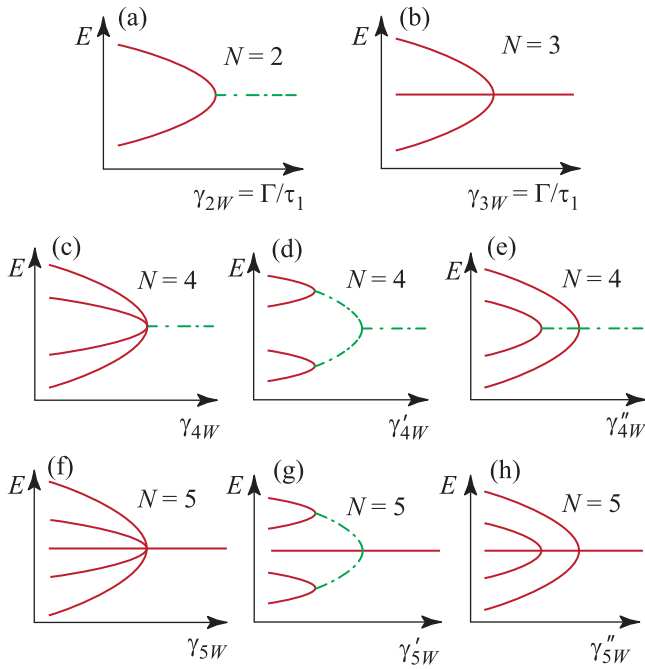


Рис. 1. (Цветной онлайн) Схематический вид возможных вариантов достижения КР (ОТ) в РТС с $N = 2, 3, 4, 5$ ямами. Сплошная линия – единичные максимумы прозрачности, штрих-пунктирная линия – не единичные максимумы

собственные значения могут слиться и превратиться в пару комплексно сопряженных, что приведет к слиянию и соответствующих резонансов. Таким образом, КР достигается при определенном соотношении между параметрами структуры, когда сливаются все собственные значения, то есть точка КР есть ОТ порядка N . КР в симметричной структуре с четным числом ям N при этом соответствует \mathcal{PT} -НС во вспомогательном гамильтониане \hat{H}_{aux} .

Из (15) следует, что в двухъямной структуре слияние резонансов происходит при $\Gamma = |\tau_1|$, в трехъямной КР происходит при критическом соотношении: $\Gamma = \sqrt{2}|\tau_1|$, в случае 4-х ям критические соотношения следующие: $|\tau_2| = |\tau_1|\sqrt{\sqrt{2}-1}$, $\Gamma = |\tau_2|(\sqrt{2}-1)^{-1}$ и для 5-ямной РТС: $|\tau_1| = |\tau_2|\sqrt{1+\sqrt{5}}$, $\Gamma = |\tau_2|\sqrt{4+2\sqrt{5}}$. Для четного N многочлен Q_{NW} есть многочлен степени $N/2$ от переменной $(\omega - \varepsilon_0)^2$. В случае же нечетного N многочлен Q_{NW} представляет собой многочлен степени $(N-1)/2$ от $(\omega - \varepsilon_0)^2$, умноженный на $(\omega - \varepsilon_0)$. Это означает, что количество независимых параметров структуры ($\{\tau_i\}$ и Γ) достаточно для полного контроля положения корней многочлена Q . Значит, все возможные положения резонансов могут быть достигнуты при помощи изменения параметров структуры. Переход из состояния

до коллапса резонансов (все пики прозрачности разделены) в состояние после КР (единственный пик прозрачности) может быть осуществлен через точку КР, где все единичные резонансы сливаются вместе. Для реализации этого перехода достаточно изменить параметры структуры в некотором направлении в пространстве параметров. В случае трех- и четырехбарьерных РТС такой переход осуществляется увеличением параметра $\gamma_{2,3W} = \Gamma/\tau_1$ (рис. 1a и b). В случае более сложных структур необходимо направление представляет собой некоторый Жорданов путь в пространстве параметров, чей естественный параметр γ_{NW} определяет, каким образом нужно изменить структуру, чтобы добиться КР. Выбор пути определяет взаимодействие резонансов (корней Q) друг с другом, поэтому можно реализовать все возможные варианты слияния резонансов за счет выбора различных путей. Таким образом, существует много путей достижения режима КР, например, для структур с $N = 2, 3, 4, 5$ схемы возможного поведения положений резонансов приведены на рис. 1.

Полученные выше результаты основаны на приближении сильной связи, однако все качественные выводы являются общими. Чтобы продемонстрировать ключевое отличие КР в РТС с четным и нечетным числом ям N , рассмотрим численное решение уравнения Шредингера с эффективной массой:

$$(-(2m^*)^{-1}\hbar^2\nabla^2 + U(x))\psi(x) = E\psi(x), \quad (17)$$

где потенциал $U(x)$ описывает многобарьерную РТС. Рис. 2 показывает коэффициент прохождения и распределение электронной волновой функции в режиме после КР для структур с кусочно-постоянным потенциалом $U(x)$, с высотой барьеров $V = 0.3$ эВ и $N = 2, 3, 4, 5$ ямами, шириной внешних барьеров 2 нм и эффективной массой $m^* = 0.067m_0$. Как было показано выше в приближении сильной связи, переход в состояние после КР происходит при определенном соотношении между параметрами структуры. Например, для двухъямной структуры переход происходит при $\gamma_{2W} = \Gamma/|\tau_1| > \gamma_{2W}^{crit} = 1$, что в формализме уравнения Шредингера (17) можно расписать как $\gamma_{2W} = \Gamma/|\tau_1| \propto |t_{L,R}|^2/|\tau_1| \propto e^{-2\kappa w}/e^{-\kappa l} > 1$, где мы считаем барьеры слабо прозрачными, w обозначает ширину крайних барьеров, l – ширину центрального и $\kappa = \hbar^{-1}\sqrt{2m(V-E)}$. Таким образом, следуя аналогичным рассуждениям, можно получить, что переход в состояние после КР в трехъямной РТС происходит при $\gamma_{3W} = \Gamma/|\tau_1| \propto |t_{L,R}|^2/|\tau_1| \propto e^{-2\kappa w}/e^{-\kappa l} > \gamma_{3W}^{crit} = \sqrt{2}$, следовательно, в трехъямной РТС переход происходит при $l \gtrsim 2w + \log 2/(2\kappa)$. Точно такой же подход применим и к более сложным струк-

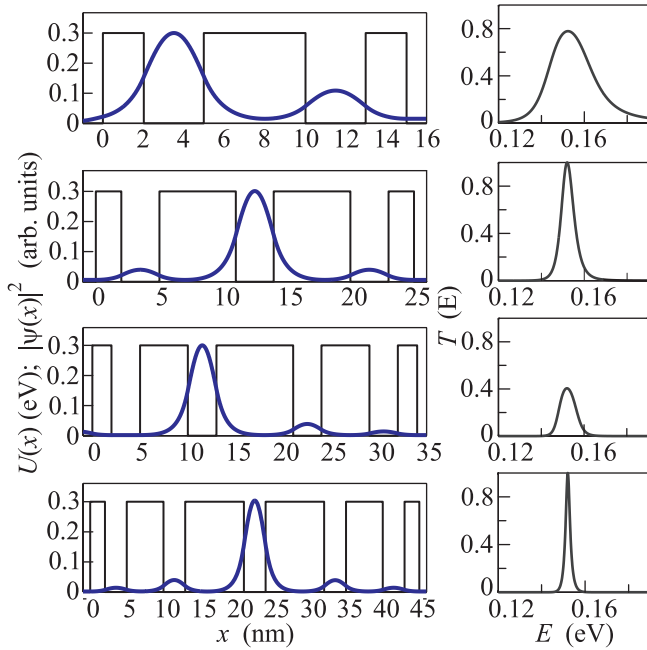


Рис. 2. (Цветной онлайн) Численно рассчитанные распределения электронной волновой функции и коэффициент прохождения для симметричных РТС с $N = 2, 3, 4, 5$ ямами в состоянии после КР ($\gamma > \gamma^{\text{crit}}$)

турам (с большим N). Записать непосредственные условия перехода при этом становится сложнее, но они по-прежнему определяются, например, соотношением между толщинами барьеров, которые явным образом входят в потенциал $U(x)$ и, соответственно, уравнение (17).

В случае четного N прозрачность в состоянии после КР имеет величину, меньшую единицы, а также нарушенную симметрию распределения электронов, в то время как при нечетном N прозрачность единственного пика после КР единичная и распределение электронов в нем симметрично. Механизм нарушения симметрии в точке КР довольно простой: электронные волновые функции, соответствующие смежным уровням вблизи точки КР, отличаются по симметрии, поэтому, сливаясь в точке КР, они образуют комбинацию симметричного и антисимметричного состояний, которое является несимметричным.

В заключение отметим, что в данной работе было показано существование нарушения \mathcal{PT} -симметрии в симметричных квантовых резонансно-туннельных гетероструктурах с четным числом ям. Это нарушение проявляется как слияние резонансов. Был введен вспомогательный псевдо-эрмитовый \mathcal{PT} -симметричный гамильтониан $H_{\mathcal{PT}}$, чьи собственные значения точно определяют положения максимумов прозрачности. $H_{\mathcal{PT}}$ может быть непосредственно

получен из эффективного гамильтониана открытой квантовой системы, описывающего уход в континуум. Нарушение \mathcal{PT} -симметрии соответствует особым точкам вспомогательного гамильтониана $H_{\mathcal{PT}}$. Таким образом, было описано нарушение \mathcal{PT} -симметрии в фермионной системе. Особые точки в структурах с нечетным числом ям не сопровождаются нарушением \mathcal{PT} -симметрии. Оптическая аналогия описанного в данной работе нарушения \mathcal{PT} -симметрии может наблюдаться в системах связанных волноводов.

А.А.Г. благодарит программу фундаментальных исследований президиума РАН за поддержку.

1. Y. Nambu *Rev. Mod. Phys.* **81**, 1015 (2009).
2. Y. Lemonik, I.L. Aleiner, C. Toke, and V.I. Fal'ko, *Phys. Rev. B* **82**, 201408 (2010).
3. Y. Saito and H. Hyuga, *Rev. Mod. Phys.* **85**, 603 (2013).
4. B. Waclaw, J. Sopic, and W. Janke, *Phys. Rev. Lett.* **103**, 080602 (2009).
5. H. Ohadi, E. Kammann, T.C.H. Liew, K.G. Lagoudakis, A.V. Kavokin, and P.G. Lagoudakis, *Phys. Rev. Lett.* **109**, 016404 (2012).
6. K. Sun, H. Yao, E. Fradkin, and S.A. Kivelson, *Phys. Rev. Lett.* **103**, 046811 (2009).
7. C.M. Bender and S. Boettcher, *Phys. Rev. Lett.* **80**, 5243 (1998).
8. C.M. Bender, S. Boettcher, and P.N. Meisinger, *J. Math. Phys.* **40**, 2201 (1999).
9. C.M. Bender, *Rep. Progress in Physics* **70**, 947 (2007).
10. A. Mostafazadeh, *J. Geometric Methods in Mod. Phys.* **7**, 1191 (2010).
11. T. Kato, *Perturbation Theory for Linear Operators*, Springer, Berlin (1995), p. 64.
12. W.D. Heiss, *J. Phys. A: Math. and Theor.* **45**, 444016 (2012).
13. M.V. Berry, *Czech. J. Phys.* **54**, 1039 (2004).
14. A. Guo, G.J. Salmo, D. Duchesne, R. Morandotti, M. Volatier-Ravat, V. Aimez, G.A. Siviloglou, and D.N. Christodoulides, *Phys. Rev. Lett.* **103**, 093902 (2009).
15. L. Feng, M. Ayache, J. Huang, Y.-L. Xu, M.-H. Lu, Y.-F. Chen, Y. Fainman, and A. Scherer, *Science* **333**, 729 (2011).
16. M. Liertzer, L. Ge, A. Cerjan, A.D. Stone, H.E. Türeci, and S. Rotter, *Phys. Rev. Lett.* **108**, 173901 (2012).
17. M. Brandstetter, M. Liertzer, C. Deutsch, P. Klang, J. Schöberl, H.E. Türeci, G. Strasser, K. Unterrainer, and S. Rotter, *Nat. Commun.* **5**, 4034 (2014).
18. Y.D. Chong, L. Ge, and A.D. Stone, *Phys. Rev. Lett.* **106**, 093902 (2011).
19. P. Ambichl, K.G. Makris, L. Ge, Y. Chong, A.D. Stone, and S. Rotter, *Phys. Rev. X* **3**, 041030 (2013).

20. N. M. Chtchelkatchev, A. A. Golubov, T. I. Baturina, and V. M. Vinokur, Phys. Rev. Lett. **109**, 150405 (2012).
21. A. J. Bray and M. A. Moore, Phys. Rev. Lett. **49**, 1545 (1982).
22. A. A. Gorbatsevich, M. N. Zhuravlev, and V. V. Kapaev, JETP **107**, 288 (2008).
23. Y. V. Kopaev and S. N. Molotkov, JETP Lett. **59**, 800 (1994).
24. C. Caroli, R. Combescot, P. Nozieres, and D. Saint-James, J. Phys. C: Solid State Phys. **4**, 916 (1971).
25. C. Caroli, R. Combescot, P. Nozieres, and D. Saint-James, J. Phys. C: Solid State Phys. **5**, 21 (1972).
26. G. L. Celardo and L. Kaplan, Phys. Rev. B **79**, 155108 (2009).
27. H. Feshbach, Ann. Phys. **5**, 357 (1958).
28. H. Feshbach, Ann. Phys. **19**, 287 (1962).
29. S. Garmon, M. Gianfreda, and N. Hatano, Phys. Rev. A **92**, 022125 (2015).
30. F.-M. Dittes, Phys. Rep. **4**, 215 (2000).
31. A. J. Fox and F. A. Johnson, Comp. J. **9**, 98 (1966).